

(19) 日本国特許庁(JP)

(12) 特許公報(B2)

(11) 特許番号

特許第6265931号  
(P6265931)

(45) 発行日 平成30年1月24日(2018.1.24)

(24) 登録日 平成30年1月5日(2018.1.5)

(51) Int.Cl. F I  
G O 5 B 13/04 (2006.01) G O 5 B 13/04

請求項の数 19 (全 31 頁)

(21) 出願番号	特願2015-36590 (P2015-36590)	(73) 特許権者	000006013 三菱電機株式会社 東京都千代田区丸の内二丁目7番3号
(22) 出願日	平成27年2月26日(2015.2.26)	(74) 代理人	100110423 弁理士 曾我 道治
(65) 公開番号	特開2015-170361 (P2015-170361A)	(74) 代理人	100111648 弁理士 梶並 順
(43) 公開日	平成27年9月28日(2015.9.28)	(74) 代理人	100122437 弁理士 大宅 一宏
審査請求日	平成28年9月28日(2016.9.28)	(74) 代理人	100147566 弁理士 上田 俊一
(31) 優先権主張番号	14/199,459	(74) 代理人	100161171 弁理士 吉田 潤一郎
(32) 優先日	平成26年3月6日(2014.3.6)	(74) 代理人	100161115 弁理士 飯野 智史
(33) 優先権主張国	米国 (US)		

最終頁に続く

(54) 【発明の名称】 システムの連続モデル予測制御のための方法およびシステムを制御するための連続モデル予測コントローラー

(57) 【特許請求の範囲】

【請求項1】

変化する係数行列 A および右辺のベクトル b を有する行列方程式  $Ax = b$  を繰り返し解くことによって制御の解ベクトル  $x$  を求める反復解法を用いたシステムの連続モデル予測制御 (CMPC) の方法であって、

前記反復解法の中で制御の現在の時間ステップにて制御で用いられる前記行列方程式の左辺の行列ベクトル積を返す正確な係数関数を近似する近似的な係数関数を求め、求めた近似的な係数関数を用いてプリコンディショナーの少なくとも一部分を求めるステップと

前記プリコンディショナーを有する前記反復解法を用いて、正確な係数関数により定義された係数行列を有する前記 CMPC の行列方程式を解くことによって解ベクトル  $x$  を求めるステップと、

前記解ベクトル  $x$  を用いて、前記システムを制御するための制御信号を生成するステップと

を含み、

前記近似的な係数関数は、前記正確な係数関数を求めるための算術計算の精度よりも低い精度を有する算術計算を用いて求められた係数関数または微分方程式の単純化された解法を用いて求められ、

該方法の各ステップは、少なくとも1つのプロセッサによって実行される、システムの連続モデル予測制御のための方法。

10

20

## 【請求項 2】

前記単純化された解法は、前記正確な係数関数を求めるための解法よりも高速であるが、該解法よりも正確でない  
請求項 1 に記載の方法。

## 【請求項 3】

前記システムのモデルを用いて、前記正確な係数関数を求めるステップと、  
前記システムの前記モデルを近似するステップと、  
前記システムの前記近似的なモデルを用いて、前記近似的な係数関数を求めるステップと  
をさらに含む、請求項 1 に記載の方法。

10

## 【請求項 4】

前記近似的な係数関数は、前記制御の異なる時間ステップについて求められた前記正確な係数関数である  
請求項 1 に記載の方法。

## 【請求項 5】

複数の近似的な係数関数を用いて、前記プリコンディショナーを求めるステップ  
をさらに含む、請求項 1 に記載の方法。

## 【請求項 6】

前記近似的な係数関数および前記正確な係数関数のうち的一方またはそれらの組み合わせを用いて、近似的な係数行列の各エントリーを求めるステップであって、前記行列方程式の左辺のベクトル  $x$  に適用された前記近似的な係数関数は、前記近似的な係数行列と前記左辺のベクトル  $x$  との行列ベクトル積を返し、前記左辺のベクトル  $x$  に適用された前記正確な係数関数は、正確な係数行列と前記左辺のベクトル  $x$  との行列ベクトル積を返し、各エントリーを求めるステップと、  
前記近似的な係数行列を用いて、前記プリコンディショナーを求めるステップと  
をさらに含む、請求項 1 に記載の方法。

20

## 【請求項 7】

前記解くことは、メイン制御ルーチンの間にコントローラプロセッサによって実行され、前記方法は、  
少なくとも 1 つの追加のプロセッサを用いて、前記メイン制御ルーチンと並列に前記近似的な係数行列および前記プリコンディショナーのうち的一方またはそれらの組み合わせを求めるステップ  
をさらに含む、請求項 6 に記載の方法。

30

## 【請求項 8】

前記近似的な係数行列は、前記制御の以前の時間ステップの間に求められ、前記方法は、  
前記制御の前記現在の時間ステップの間に前記近似的な係数行列の少なくとも一部分を更新するステップ  
をさらに含む、請求項 6 に記載の方法。

## 【請求項 9】

前記近似的な係数関数および前記正確な係数関数のうち的一方またはそれらの組み合わせを、前記正確な係数行列のサイズの行列の全ての個々の列または列のブロックに適用し、前記近似的な係数行列を生成するための行列を生成し、前記行列を変換し、対称形の特徴を有する前記近似的な係数行列を生成するステップと  
をさらに含む、請求項 6 に記載の方法。

40

## 【請求項 10】

前記システムのモデルに基づいて予測された次の時間ステップのためのデータを用いて、前記制御の前記現在の時間ステップの間に前記制御の前記次の時間ステップのための前記近似的な係数行列の少なくとも一部分を求めるステップ  
をさらに含む、請求項 6 に記載の方法。

50

## 【請求項 1 1】

前記プリコンディショナーを求めるステップは、  
反三角形因数分解を用いて、前記近似的な係数行列を反転するステップ  
を含む、請求項 6 に記載の方法。

## 【請求項 1 2】

前記プリコンディショナーを求めるステップは、  
前記近似的な係数行列の固有値分解を用いて、対称正定値プリコンディショナーとして  
前記プリコンディショナーを求めるステップ  
を含む、請求項 6 に記載の方法。

## 【請求項 1 3】

前記プリコンディショナーを求めるステップは、  
前記プリコンディショナーを対称正定値プリコンディショナーとして求めるステップ  
を含み、前記反復解法は、前処理付き最小残差方法である  
請求項 1 に記載の方法。

10

## 【請求項 1 4】

前記プリコンディショナーを求めるステップは、  
前記反復解法の収束を遅くする誤差伝播演算子の固有ベクトルの少なくとも一部分を求  
めるステップと、  
デフレーションを用いて、前記プリコンディショナーにおける前記固有ベクトルを除去  
するステップと  
を含む、請求項 1 に記載の方法。

20

## 【請求項 1 5】

前記反復解法の収束速度を求めるステップと、  
前記収束速度が閾値未満である場合、前記プリコンディショナーを少なくとも部分的に  
更新するステップと  
をさらに含む、請求項 1 に記載の方法。

## 【請求項 1 6】

前記更新するステップは、  
前記反復解法の反復ベクトルのうちの少なくともいくつかへの前記正確な係数関数の適  
用の結果を用いて、前記プリコンディショナーを少なくとも部分的に更新するステップ  
を含む、請求項 1 5 に記載の方法。

30

## 【請求項 1 7】

前記現在の時間ステップの前記反復解法の実行の間に前記プリコンディショナーを少な  
くとも部分的に更新するステップ  
をさらに含み、前記反復解法は、前記プリコンディショナーが可変のプリコンディショ  
ナーであるように、前記プリコンディショナーの更新と同期して再開されるか、または柔  
軟な反復解法である  
請求項 1 に記載の方法。

## 【請求項 1 8】

前記解ベクトル  $x$  を求めるステップは、  
前記制御の以前の時間ステップから前記反復解法の反復を再開することなく、前記制御  
の前記現在の時間ステップにおいて、前記反復解法における前記行列方程式を更新するス  
テップ  
を含み、前記反復解法は、前記行列方程式が可変の行列方程式であるように柔軟な反復  
解法である  
請求項 1 に記載の方法。

40

## 【請求項 1 9】

変化する係数行列 A および右辺のベクトル b を有する行列方程式  $Ax = b$  を反復解法を  
用いて繰り返し解くことによって制御の解ベクトル  $x$  を求めて、各時間ステップにおいて  
生成される制御信号に従ってシステムを制御する連続モデル予測コントローラ (CMP

50

C)であって、

前記システムのモデル、前記行列方程式の左辺のベクトル $x$ に適用すると制御の現在の時間ステップにて制御で用いられる前記行列方程式の左辺の行列ベクトル積を返す正確な係数関数および前記正確な係数関数を近似する近似的な係数関数を記憶するメモリと、

前記近似的な係数関数を用いてプリコンディショナーを求め、前記プリコンディショナーを有する反復解法を用いて前記正確な係数関数によって定義された係数行列を有する行列方程式を解いて解ベクトル $x$ を生成し、前記解ベクトル $x$ を用いて前記制御信号を生成する少なくとも1つのプロセッサと

を備え、

前記近似的な係数関数は、前記正確な係数関数を求めるための算術計算の精度よりも低い精度を有する算術計算を用いて求められた係数関数または微分方程式の単純化された解法を用いて求められ、

各時間ステップにおいて生成される制御信号に従ってシステムを制御する連続モデル予測コントローラー。

【発明の詳細な説明】

【技術分野】

【0001】

本発明は、包括的には、モデル予測制御に関し、より詳細には、動的システムの前処理付き連続モデル予測制御のための方法および装置に関する。

【背景技術】

【0002】

モデル予測制御(MPC)は、多くの用途において複合動的システムを制御するのに用いられる。そのようなシステムの例には、生産ライン、車両エンジン、ロボット、他の数値制御された機械加工、および発電機が含まれる。

【0003】

MPCは、システムのモデルの反復的な有限計画対象期間最適化に基づいている。MPCは、将来の事象を予測し、適切な制御動作を取る能力を有する。これは、制約を条件として将来の有限計画対象期間にわたって、システムの動作を最適化し、現在の時間ステップにわたる制御のみを実施することによって達成される。

【0004】

MPCは、独立変数の変化によって引き起こされるモデル化されたシステムの従属変数の変化を予測することができる。化学プロセスでは、例えば、コントローラーが調整することができる独立変数は、多くの場合、圧力、流量、温度、弁の開度、およびダンパーの剛性である。コントローラーが調整することができない独立変数は、外乱として扱われる。これらのプロセスにおける従属変数は、制御目標またはプロセス制約のいずれかを表す他の測定値である。

【0005】

MPCは、システムのモデル、現在のシステム測定値、プロセスの現在の動的状態、ならびにプロセス変数の目標および制限を用いて、従属変数の将来の変化を計算する。これらの変化は、独立変数および従属変数の双方に対する制約を条件として、従属変数を目標の近くに保持するように計算される。MPCは、通常、実施される各独立変数の最初の変化のみを送出し、次の変化が必要とされるときに計算を繰り返す。

【0006】

MPC数値方法は、所与のシステム向けに特別に設計されることが多い種々の計算装置上で実施される。計算装置は、安価な固定小数点精度の組み込みコントローラーから高性能のマルチコアコンピュータプロセッサユニット(CPU)、グラフィックス処理ユニット(GPU)、フィールドプログラマブルゲートアレイ(FPGA)、または専用並列コンピュータクラスターにまで及ぶことができる。

【0007】

モデル予測コントローラーは、プロセスの動的モデルに依拠し、最も多くは、線形経験

10

20

30

40

50

モデルに依拠しており、この場合、MPCは、線形である。非線形モデルを用いてシステムを記述する非線形MPC(NMPC)が、多くの場合、線形MPCと比較して、より現実的であるが、計算がより難しくなる。線形MPCと同様に、NMPCは、一般に凸ではない、有限予測計画対象期間に関する最適制御問題を解くことを要し、これは、数値解を取得するための難題を提起する。NMPC最適制御問題の数値解は、通常、ニュートン型最適化方式に基づいている。

【0008】

正確なニュートン型最適化方式は、対応するヤコビ行列の解析式を必要とし、この解析式は、実際には稀にしか利用可能でなく、一般的には前進差分(FD)近似に置き換えられる。そのような近似的なニュートン型最適化方式は、制御のあらゆる時間ステップの間、元の非線形方程式のFD近似を利用する。

10

【0009】

NMPCへの適用において、そのような近似的なニュートン型最適化は、非特許文献1に記載されている連続NMPC(CNMPC)数値方法によって実行することができる。CNMPCを用いたオンライン計算における重要で反復的な最も計算集約的ステップのうちの1つが、行列方程式 $Ax = b$ の数値解法である。ここで、 $A$ は、係数行列であり、 $x$ は、解ベクトルであり、 $b$ は、ベクトルである。この解法は、制御の時間ステップごとに係数行列 $A$ およびベクトル $b$ を変化させる。

【0010】

CNMPCにおける係数行列 $A$ は、明示的には与えられず、行列ベクトル積を介してのみ利用可能である。具体的には、積 $A * X$ を計算するのに、コンピューターコードが利用可能である。ここで、 $A$ は、係数行列であり、 $*$ は、行列と行列との積であり、 $X$ は、単一の列ベクトル、または行列に組み立てられるいくつかの列ベクトルである。この開示において、このコンピューターコードの動作は、「係数関数」の適用と呼ばれる。ベクトルに適用された係数関数は、係数行列とそのベクトルとの積を返す。内部的には、係数関数は、非特許文献1に記載されているように、例えば、複数の微分方程式を解くことによる状態方程式および共状態方程式の評価を必要とする。

20

【0011】

係数行列 $A$ は、行列フォーマットではなく、係数関数を介してのみ利用可能であるので、行列エントリへのアクセスを必要とする直接的な行列解法は、CNMPCでは用いられない。その代わりに、係数行列 $A$ を有さず係数関数のみを有して動作することができる、いわゆる「行列なし(matrix-free)」反復方法が用いられる。CNMPCの行列方程式 $Ax = b$ を解くための1つの従来の行列なし反復方法は、一般化最小残差(GMRES)方法である。あらゆる時間ステップの間に非線形方程式のFD近似にGMRESを用いることは、一般に、FDGMRESと呼ばれ、不正確なニュートンの方法と解釈することができる。CNMPCに関して、FDGMRESは、連続/GMRES(C/GMRES)という名称が付けられている。

30

【0012】

FDGMRESには、係数関数を伴う行列ベクトル乗算が必要とされる。計算の全体的なコストは、FDGMRESステップの最大数に比例する。FDGMRESの収束が遅い結果、制御のオンライン計算が低速化し、コントローラーにおけるリアルタイム計算において取得される制御品質が低下する。

40

【先行技術文献】

【非特許文献】

【0013】

【非特許文献1】Ohtsuka, T. 「A Continuation/GMRES Method for Fast Computation of Nonlinear Receding Horizon Control」(Automatica, Vol. 40, No. 4, pp. 563-574, Apr. 2004)

【発明の概要】

【発明が解決しようとする課題】

50

## 【 0 0 1 4 】

したがって、システムの連続モデル予測制御の効率性を高めることが所望されている。

## 【 課題を解決するための手段 】

## 【 0 0 1 5 】

モデル予測制御 (MPC) は、多くの用途において用いられる。非線形モデルを有する非線形 MPC (NMPC) 制御システムは、多くの場合、線形 MPC よりも現実的であるが、計算がより難しい。連続 NMPC (CNMPC) は、変化する係数行列 A および右辺のベクトル b を有する行列方程式  $Ax = b$  を繰り返し解くことによって制御の解ベクトル x を求めるタイプの NMPC である。制御の時間ステップごとに、CNMPC は、解ベクトル x から、システムを制御する制御動作を生成する。

10

## 【 0 0 1 6 】

コントローラーの計算リソースに対して潜在的に大きな行列サイズおよび係数行列 A の個々のエントリーが容易に利用可能でないことに起因して、行列方程式  $Ax = b$  用の直接的な行列因数分解に基づく解法は、実用的ではない。したがって、CMPC は、例えば、プリコンディショナー (前処理器) を有する反復方法を用いて行列方程式を反復的に解く。

## 【 0 0 1 7 】

CNMPC の前処理付き反復方法は、係数行列 A を伴う行列ベクトル乗算を必要とし、計算の全体的なコストは、最大反復回数に比例する。係数行列 A の計算の複雑さ、その変化する性質、および行列ベクトル乗算の必要性に起因して、CNMPC は、従来、係数行列をエントリー単位で用いず、明示的に求めることさえない。

20

## 【 0 0 1 8 】

その代わりに、CMPC は、ベクトル x に適用されたときに、係数行列 A とベクトル x との積、すなわち、 $a(x) = A * x$  を返す係数関数  $a()$  に依拠する。この係数関数は、制御の時間ステップごとに生成される。内部的には、係数関数の式の生成には、複数の微分方程式を解くことが必要とされる。

## 【 0 0 1 9 】

本発明の種々の実施の形態は、係数行列の計算の複雑さ、および係数関数の存在にもかかわらず、係数行列を明示的に求めることが有益である可能性がある、という認識に基づいている。これは、係数行列を用いて行列方程式を直接解くか、または前処理付き反復方法においてプリコンディショナーを求めて、反復回数を削減することができるからである。CNMPC の計算複雑さは、最大反復回数に比例するので、いくつかの実施の形態によるプリコンディショナーは、CNMPC の複雑さを低減する。

30

## 【 0 0 2 0 】

本発明の種々の実施の形態は、前処理のために、係数関数を用いて係数行列の各エントリーを求める必要があるが、係数関数は、正確である必要はなく、近似的な係数関数とすることができる、という別の認識に基づいている。近似的な形式であっても、係数行列の各エントリーを求めるのに、係数関数を用いることによって、係数行列全体の CMPC の枠組みは、維持され、プリコンディショナーを求めるのに用いられる係数行列の品質は、改善される。

40

## 【 0 0 2 1 】

正確な係数関数とは、本明細書において用いられるとき、制御の現在の時間ステップについて、制御の解ベクトルを求めるのにコントローラーによって用いられる係数関数である。それ以外のどの係数関数も、近似的である。例えば、近似的な係数関数は、制御の異なる時間ステップについて求められた異なる正確な係数関数、または正確な係数関数を求めるための算術計算の精度よりも低い精度を有する算術計算を用いて求められた係数関数、または微分方程式の単純化された解法を用いて求められた係数関数である。

## 【 0 0 2 2 】

本発明のいくつかの実施の形態は、近似的な係数関数および正確な係数関数のうちの一方またはそれらの組み合わせを用いて係数行列を求める。係数行列の個々のエントリーを

50

求める際のそのような柔軟性によって、時間、空間、および/または品質において、係数行列の異なるエントリーを求めることの分割が可能になる。これは、近似的な係数関数および正確な係数関数のうちの一方またはそれらの組み合わせの使用が、異なるプロセッサ上で、制御の異なる時間ステップにおいて、異なる正確さで、同じ係数行列の異なるエントリーを求めることを可能にするとともに、プリコンディショナーを求めるためのCNMPCの枠組みを、依然として維持しているからである。

【0023】

例えば、いくつかの実施の形態は、正確な係数関数を用いて係数行列の一部を求め、近似的な係数関数を用いて係数行列の別の部分を求める。例えば、制御の以前の時間ステップの間に求められた係数行列、すなわち、制御の現在の時間ステップの観点から近似的な係数関数を用いて求められた係数行列は、現在の時間ステップにおいて、正確な係数関数または近似的な係数関数を用いて更新することができる。

10

【0024】

例えば、1つの実施の形態は、係数行列から求められたプリコンディショナーをいくつかの後続の時間ステップに再利用する。この実施の形態は、プリコンディショナーの品質を監視し、この品質が低下したとき、係数行列およびプリコンディショナーを再計算することができる。例えば、この実施の形態は、前処理付き反復方法の収束速度が閾値未満であるとき、係数行列を更新または再計算することができる。

【0025】

いくつかの実施の形態は、行列方程式用の反復解法の実行と非同期かつ並行に、例えば反復解法の実行と並列に、係数行列を求めることもできるし、更新することもできる、という認識にも基づいている。例えば、1つの実施の形態では、行列方程式を解くことは、メイン制御ルーチンの間にコントローラプロセッサによって実行され、係数行列の少なくとも一部分は、追加のプロセッサを用いて、メイン制御ルーチンと並列に求められる。

20

【0026】

本発明のいくつかの実施の形態は、係数行列のサイズの単位行列の座標ベクトル、または係数行列のサイズのフルランク行列のベクトルに、係数関数を適用することによって、係数行列の少なくとも一部分を求める。それらの実施の形態は、複数のプロセッサ、例えば、GPUまたはFPGAを用いたマルチスレッド計算を利用することができる。なぜならば、ベクトルへの係数関数の1つの適用が別の適用から独立しているからである。したがって、それらの実施の形態は、係数行列の要素を並列に求めることができ、これによって、計算効率が高められる。

30

【0027】

いくつかの実施の形態は、係数行列を用いてプリコンディショナーを求め、行列方程式を解く際に、このプリコンディショナーを用いる。例えば、反復解法は、ある反復ステップにおいて停止することができ、その後、新しく求められた、または更新されたプリコンディショナーとともに、解の現在の反復近似値を再開される方法の初期近似値として用いて、再開することができる。この場合、再開と再開との間の反復のプロセス中、プリコンディショナーは、固定される。

【0028】

代替的に、異なる実施の形態は、反復解法を再開することなく、この解法におけるプリコンディショナーを更新し、これによって、あらゆる反復において変化することができる可変のプリコンディショナーが得られる。したがって、実施の形態は、可変の前処理を可能にする柔軟な反復方法を用いるように変更される。

40

【0029】

加えてまたは代替的に、1つの実施の形態は、従来のCGMRESが、所与の時間ステップにおいて開始するとき、以前の時間ステップ(複数の時間ステップの場合もある)からの、おそらくは解の初期近似値から離れている情報を用いない、という認識に基づいている。この情報は、収束を加速することができるので、この実施の形態は、従来の枠組みと比較して、異なる枠組みを利用する。この枠組みでは、行列方程式 $Ax = b$ 用の反復

50

解法は、時間ステップ間で再開されず、逆に、更新された係数行列  $A$ （更新された係数関数によって与えられる）および更新された右辺のベクトル  $b$  のみを用いて実行を維持する。この実施の形態は、可変の前処理だけでなく、更新された係数行列  $A$  および右辺のベクトル  $b$  に対しても、柔軟な反復方法を用いる。

【0030】

いくつかの実施の形態は、係数関数が、方程式行列を解くために反復方法によって用いられ、その結果、あらゆる反復において、ベクトル  $x$  および  $A * x$  の新たな対が得られるという別の認識に基づいている。これらの対は、通常は、廃棄されるが、いくつかの実施の形態は、係数行列およびプリコンディショナーを更新するのに、その情報を用いる。

【0031】

したがって、1つの実施の形態は、システムの連続モデル予測制御（CMPC）の方法を開示する。該方法は、近似的な係数関数を用いてプリコンディショナーの少なくとも一部分を求めることと、前記プリコンディショナーを有する反復方法を用いて、制御の現在の時間ステップにおける正確な係数関数によって定義された係数行列を有する前記CMPCの行列方程式を解くことによって解ベクトルを求めることであって、ベクトルに適用される前記近似的な係数関数は、該ベクトルへの前記正確な係数関数の適用の結果を近似することと、前記解ベクトルを用いて、前記システムを制御するための制御信号を生成することと、を含み、該方法のステップは、少なくとも1つのプロセッサによって実行される。

【0032】

別の実施の形態は、各時間ステップにおいて生成される制御信号に従ってシステムを制御する連続モデル予測コントローラー（CMPC）を開示する。該コントローラーは、前記システムのモデル、近似的な係数関数、および正確な係数関数を記憶するメモリであって、ベクトルに適用された前記近似的な係数関数は、近似的な係数行列と前記ベクトルとの積を返し、前記ベクトルに適用された前記正確な係数関数は、正確な係数行列と前記ベクトルとの積を返す、メモリと、前記近似的な係数関数を用いてプリコンディショナーを求め、前記プリコンディショナーを有する反復方法を用いて前記正確な係数関数によって定義された係数行列を有する行列方程式を解いて解ベクトルを生成し、前記解ベクトルを用いて前記制御信号を生成する少なくとも1つのプロセッサと、を備える。

【図面の簡単な説明】

【0033】

【図1】本発明の実施の形態によるコントローラーおよびシステムのブロック図である。

【図2】本発明の実施の形態によるコントローラーのブロック図である。

【図3】本発明の実施の形態によるコントローラー上で実施される非線形MPC方法のブロック図である。

【図4A】本発明の1つの実施の形態によるシステムの連続モデル予測制御（CMPC）のための方法のブロック図である。

【図4B】本発明のいくつかの実施の形態による行列方程式用の前処理付き反復解法の一例を示す図である。

【図5】本発明のいくつかの実施の形態による非同期並行プリコンディショナーのセットアップのブロック図である。

【図6】本発明の1つの実施の形態に従って係数関数をベクトルに並行して適用することによって係数行列を求める本発明の1つの実施の形態の図である。

【図7】ベクトルのブロックに係数関数を適用する別の実施の形態の図である。

【図8】既に記憶されたベクトルのセットを完全な状態に完成させ、この完成したものに対して係数関数を評価する1つの実施の形態のブロック図である。

【図9】本発明の1つの実施の形態によるプリコンディショナーを求めるための反三角形分解/因数分解の図である。

【図10】係数行列  $A$  の固有値分解を用いてプリコンディショナーを求める別の実施の形態の図である。

10

20

30

40

50

【図 1 1】固有値分解を用いてプリコンディショナー関数を変更する別の実施の形態の図である。

【発明を実施するための形態】

【0034】

本発明のいくつかの実施の形態は、モデル予測制御 (MPC) を用いた、システムの動作を制御するためのシステムおよび方法またはシステムのモデルに従ったシステムを提供する。

【0035】

図 1 は、MPC コントローラー 110 に接続された 1 つの例示したシステム 120 を示している。コントローラー 110 は、このシステムのモデル 102 に従ってプログラムされる。このモデルは、システム 120 の状態 121 および出力 103 の経時的な変化を、現在および以前の入力 111 ならびに以前の出力 103 の関数として表す一組の方程式とすることができる。このモデルは、システムの物理的限界および動作限界を表す制約 104 を含むことができる。動作中、コントローラーは、システムの所望の挙動を示すコマンド 101 を受信する。このコマンドは、例えば、動きコマンドとすることができる。コマンド 101 の受信にตอบสนองして、コントローラーは、システムの入力としての役割を果たす制御信号 111 を生成する。この入力にตอบสนองして、システムは、システムの出力 103 および状態 121 を更新する。

10

【0036】

本明細書において言及するようなシステムは、場合によっては電圧、圧力、力等の物理量に関連付けられることがある、ある特定の操作入力信号 (入力) によって制御され、場合によっては、電流、流量、速度、位置等の物理量に関連付けられることがあるいくつかの制御された出力信号 (出力) を返す任意の機械またはデバイスとすることができる。出力値は、一部分は、システムの以前の出力値に関係し、一部分は、以前の入力値および現在の入力値に関係している。以前の入力と以前の出力との依存関係は、システムの状態にコード化される。システムの動作、例えば、システムの構成要素の動きは、ある特定の入力値の適用に続いて、システムによって生成される一連の出力値を含むことができる。

20

【0037】

システムのモデルは、システム出力が現在の入力および以前の入力、ならびに以前の出力の関数として、経時的にどのように変化するかを記述する一組の数学方程式を含むことができる。システムの状態は、システムのモデルおよび将来の入力とともに、システムの将来の動きを一意に規定することができる、一般に、時変の任意の情報セット、例えば、現在のおよび以前の入力および出力の適切なサブセットである。

30

【0038】

システムは、出力、入力、および場合によっては、システムの状態の操作が認められる範囲を制限する物理制約および仕様制約を受けることがある。

【0039】

コントローラーは、固定または可変の制御周期サンプリング間隔で、システム出力およびシステムの動きの所望の操作を受信し、これらの情報を用いて、システムを動作させるための入力、例えば、制御信号 111 を決定するハードウェア、またはプロセッサ、例えば、マイクロプロセッサにおいて実行されるソフトウェアプログラムで実施することができる。

40

【0040】

図 2 は、システムの状態 121 および出力 103 が、コマンド 101 に従うようにシステムを作動させる本発明の実施の形態によるコントローラー 110 のブロック図を示している。コントローラー 110 は、モデル 102 およびシステムの動作に対する制約 104 を記憶するためのメモリ 202 に接続された単一のコンピュータプロセッサユニット (CPU)、または複数の CPU 201 を備える。コントローラーは、システム出力および状態が、コマンド 101 に従うように、システムを作動させる。

【0041】

50

いくつかの実施の形態は、システムの連続モデル予測制御（CMP C）のためのシステムおよび方法を提供する。CMP Cは、変化する係数行列Aおよびベクトルbを有するCMP Cの行列方程式 $Ax = b$ を繰り返し解くことによって、制御の解ベクトルxを求めるタイプのMPCである。各時間ステップにおいて、CMP Cは、解ベクトルxから、システムを制御する制御動作を生成する。数学的な詳細については、付録Aを参照されたい。いくつかの実施の形態は、非線形モデルを用いてシステムを記述する非線形MPC（NMPC）を用いる。それらの実施の形態では、CMP Cは、実際にはCNMPCである。

【0042】

コントローラーの計算リソースに対して潜在的に大きな行列サイズおよび行列Aの個々のエントリーが容易に利用可能でないことに起因して、行列方程式 $Ax = b$ 用の従来の直接的な行列因数分解に基づく解法は、実用的でないと考えられる。したがって、CMP Cは、例えば、前処理付き一般化最小残差（GMRES）方法等の前処理付き反復方法を用いて行列方程式を反復的に解くことを含む。

10

【0043】

図3は、本発明のいくつかの実施の形態によるシステムの連続モデル予測制御（CMP C）のための方法のブロック図を示している。本方法は、コントローラー110のコンピュータプロセッサ201によって、および/またはコントローラーのプロセッサと並行して動作する追加のプロセッサを用いることによって、実行することができる。この例では、制御の現在の時間ステップtにおけるコントローラーは、測定された状態121によってアクティブ化される。システムのモデル102および制約104は、コントローラーのメモリ202に記憶されている。

20

【0044】

図3の方法は、現在の状態103の測定された値と、制御の以前の時間ステップの計画対象期間にわたって求められた状態、制御、ラグランジュ乗数の値310とに基づいてシステムを制御するための制御信号111を生成するオンライン制御ステップを実行する。

【0045】

例えば、本方法は、値103および値310を用いて微分方程式を解くことによって、システムのモデルに従って計画対象期間における予測された状態325を求め（320）、この予測された状態325から、カルーシュ-クーン-タッカー（Karush-Kuhn-Ticker：KKT）最適性必要条件に従って計画対象期間における予測された共状態335を求める（330）。

30

【0046】

本方法は、モデル、ラグランジュ乗数、状態325および共状態335、ならびに値310を用いて、係数関数345を生成する（340）。本方法は、係数関数345を用いて、計画対象期間にわたる制御信号およびラグランジュ乗数の変化を含むベクトルxの行列方程式 $Ax = b$ を解いて（350）、制御信号111の解ベクトル355を生成する。解350について、係数行列Aは、係数関数340によって暗黙的に与えられる。解ベクトルが求められた後、本方法は、制御信号111を生成し（360）、計画対象期間にわたる状態、制御、およびラグランジュ乗数の値を更新する。更新された値は、制御の次の時間ステップにおいて、本方法によって用いられる。

40

【0047】

いくつかの実施の形態では、本方法は、計画対象期間にわたる全時間間隔の制御を決定する（360）が、MPCによって規定されるような最も近い時間ステップの制御信号111しか出力しない。

【0048】

係数行列Aの計算の複雑さ、その変化する性質、および行列ベクトル乗算の必要性に起因して、CMP Cは、通常、係数行列Aをエントリーのように用いず、明示的に求めることさえない。その代わりに、CMP Cは、係数関数345に依拠する。ベクトルxに適応された係数関数 $a(x)_{345}$ は、係数行列Aとベクトルxとの積、すなわち $a(x) = A * x$ を返す。内部的には、係数関数345の式の生成340には、状態325について

50

微分方程式を解き、次いで、共状態 3 3 5 について微分方程式を解くことが必要とされる。数学的な詳細については、付録 A を参照されたい。

【 0 0 4 9 】

本発明の様々な実施の形態は、行列方程式  $Ax = b$  を解く。ここで、係数行列  $A$  は、係数関数 3 4 5 によって定義される。コントローラーの計算リソースに対して潜在的に大きな行列サイズおよび行列  $A$  の個々のエントリーが容易に利用可能でないことに起因して、行列方程式  $Ax = b$  用の従来の直接的な行列因数分解に基づく解法は、実用的でないと考えられる。したがって、本発明のいくつかの実施の形態は、プリコンディショナーを有する反復方法を用いて C M P C の行列方程式を解く。

【 0 0 5 0 】

本発明のいくつかの実施の形態は、係数行列の計算の複雑さおよび係数関数の存在にもかかわらず、係数行列自体を明示的に求めることが有益である可能性がある、という認識に基づいている。これは、係数行列を用いて行列方程式を直接解くか、または前処理付き反復方法においてプリコンディショナーを求めて、反復回数を削減することができるからである。C M P C の計算コストは、最大反復回数に比例するので、係数関数に基づいて求められたプリコンディショナーの使用によって、C M P C のコストを削減することができる。

【 0 0 5 1 】

本発明のいくつかの実施の形態は、前処理のために、係数関数を用いて係数行列の各エントリーを求める必要があるが、係数関数は、正確である必要はなく、近似的な係数関数とすることができる、という別の認識に基づいている。近似的な形式であっても、係数行列の各エントリーを求めるのに、係数関数を用いることによって、係数行列全体にわたる C M P C の枠組みは、維持され、プリコンディショナーを求めるのに用いられる係数行列の品質は、改善される。加えてまたは代替的に、近似的な係数関数は、係数行列のエントリーを明示的に求めることがなくても、プリコンディショナーを求めるのに用いることができる。

【 0 0 5 2 】

図 4 A は、本発明の 1 つの実施の形態によるシステムの連続モデル予測制御 ( C M P C ) のための方法のブロック図を示している。この実施の形態は、近似的な係数関数 4 9 0 を用いてプリコンディショナー 4 0 0 の少なくとも一部分を求め ( 4 0 1 )、プリコンディショナーを有する反復方法を用い、制御の現在の時間ステップにおける正確な係数関数 3 4 5 によって定義された係数行列を有する C M P C の行列方程式を解くことによって、解ベクトル 3 5 5 を求める ( 4 0 2 )。この実施の形態は、解ベクトル 3 5 5 を用いてシステムを制御するための制御信号 1 1 1 を生成する ( 4 0 3 )。

【 0 0 5 3 】

正確な係数関数とは、本明細書において用いられるとき、制御の現在の時間ステップにおける制御の解ベクトルを求めるのに、コントローラーによって用いられる係数関数である。それ以外のどの係数関数も、近似的である。例えば、近似的な係数関数は、制御の異なる時間ステップについて求められた異なる正確な係数関数、または正確な係数関数を求めるための算術計算の精度よりも、低い精度を有する算術計算を用いて求められた係数関数、または微分方程式の単純化された解法を用いて求められた係数関数である。

【 0 0 5 4 】

特に、ベクトルに適用された近似的な係数関数は、そのベクトルへの正確な係数関数の適用の結果を近似する。具体的には、ベクトルに適用された近似的な係数関数は、近似的な係数行列とそのベクトルとの積を返し、そのベクトルに適用された正確な係数関数は、制御の現在の時間ステップの正確な係数行列とそのベクトルとの積を返す。

【 0 0 5 5 】

近似的な係数関数を用いて、プリコンディショナーの少なくとも一部分を求めることは、係数行列の個々のエントリーおよび/またはプリコンディショナーを求める際の柔軟性を提供し、空間、時間、および/または品質において、プリコンディショナーの種々の部

10

20

30

40

50

分を求めることの分割を可能にする。これは、近似的な係数関数および正確な係数関数のうちの一方またはそれらの組み合わせの使用が、異なるプロセッサ上で、制御の異なる時間ステップにおいて、異なる正確さで、同じ係数行列の異なるエントリーを求めることを可能にするとともに、プリコンディショナーを求めるためのC M P Cの枠組みを依然として維持しているからである。

【0056】

図4Bは、本発明の1つの実施の形態による正確な係数関数410によって定義された係数行列を用いて、C M P Cの行列方程式 $Ax = b$ を解くための前処理付き反復方法の一例を示している。この反復方法の一例は、前処理付き一般化最小残差(G M R E S)方法である。

10

【0057】

正確な係数関数410は、制御の現在の時間ステップごとに求められる。また、解ベクトル $x$ の初期近似が求められる。例えば、ゼロベクトルまたは制御の以前の時間ステップにおいて求められた解ベクトルは、いくつかの可能な選択肢である。

【0058】

C M P Cの反復方法は、あらゆる反復において正確な係数関数 $a(\quad)$ を伴う行列ベクトル乗算420を必要とし、計算の全体的なコストは、最大反復回数に比例する。停止判定基準430は、現在の近似値 $x$ が所与の許容範囲を満たすか否か、または反復ステップの最大数 $k_{max}$ に達したか否かを調べる。停止判定基準が満たされている場合(435)、反復は、停止し、ベクトル $x$ の現在の近似値が、行列方程式 $Ax = b$ の近似解480として出力される。停止判定基準が満たされていない場合(436)、解の更新された近似値440が計算され、反復は、ステップ420へのサイクルを続け、反復インデックス $k$ が1つだけ増加される(470)。

20

【0059】

いくつかの実施の形態は、近似的な係数関数490を用いて、プリコンディショナー455の少なくとも一部分を求める(450)。プリコンディショナーは、最初に生成することができ、その後、例えば、メイン反復サイクルのあらゆるステップに対して適用することができる。いくつかの実施の形態では、プリコンディショナーは、メイン反復サイクルの外部で生成された(450)前処理関数 $t(\quad)$ であり、ベクトルに適用されたこの前処理関数 $t(x) = T * x$ は、ベクトル $x$ に対するプリコンディショナーの行列形式 $T$ の積 $T * x$ を返す。

30

【0060】

プリコンディショナー $T$ は、例えば、メイン反復サイクルのあらゆるステップの間で適用することができる(460)。プリコンディショナーの適用460は、例えば、プリコンディショナー関数 $t(\quad)$ が、残差 $b - Ax$ に作用する、すなわち、 $t(b - Ax) = T * x$ を求めることを意味することができる。前処理の適用によって、反復あたりの計算コストを大幅に増加させることなく、反復方法の収束が加速され、したがって、コントローラーの全体的な性能改善がもたらされる。

【0061】

近似的な係数行列 $A$ の近似的な逆行列が、プリコンディショナーの行列形式 $T$ に用いられる場合、すなわち、 $T = A^{-1}$ である場合、前処理付き反復方法における反復回数は、根本的に削減される。所与の時間ステップにおけるプリコンディショナー $T$ が、係数行列の逆行列と一致する正確な場合、すなわち、 $T = A^{-1}$ である場合、前処理付き方法における反復回数は、1に削減される。しかしながら、この正確な場合は、計算的に高価である可能性があり、したがって、本発明のいくつかの実施の形態は、前処理更新またはセットアップ450および適用460を行う目的のために、近似的な係数行列および/または近似的な係数関数490が、それらの正確な対応するものと比較して、生成および適用がより容易で高速である可能性があるとともに、依然として高品質の前処理をもたらすことができる、という認識に基づいている。

40

【0062】

50

例えば、1つの実施の形態は、正確な係数関数を求めるための算術計算の精度よりも低い精度を有する算術計算を用いて、近似的な係数関数を求める。この実施の形態は、プリコンディショナー T を求める目的で係数行列 A を作成および更新することは、完全な正確さを必要とせず、コンピューターベースのコントローラー上で削減された算術計算ビット数を用いて行うことができる、という認識に基づいている。加えてまたは代替的に、別の実施の形態は、既に計算された近似的な係数行列関数または近似的な係数行列から低い精度の算術計算でプリコンディショナー T を求めるものである。

【0063】

例えば、2倍の算術計算精度を有する従来のコンピューター処理ユニット(CPU)と、単一の算術計算精度を有するGPUとを有する混合タイプの計算環境では、制御の計算は、倍精度のCPU上で実行することができる一方、プリコンディショナーの更新またはセットアップ450は、以下で詳細に説明する近似的な係数行列Aの並列計算を含めて、単一精度のGPU上で実行することができる。

10

【0064】

加えてまたは代替的に、別の実施の形態は、微分方程式用の単純化された解法を用いて近似的な係数関数を求める。ここで、この単純化された解法は、正確な係数関数を求めるための解法よりも高速であるが、この解法よりも正確でない。例えば、ステップ320および330において微分方程式を解くための解法は、近似的な係数関数を求めるための解法の時間領域および/または空間領域において、場合によっては不均一な初期のグリッドと比較して、より大きなサイズを用いることができる。これは、オンライン計算の速度を増加させることができる一方、その結果削減された正確さは、プリコンディショナーの更新またはセットアップ450にのみ影響し、実際に計算される解480および制御信号111の正確さには影響しない。

20

【0065】

加えてまたは代替的に、別の実施の形態は、システムの単純化された近似的なモデル102を用いて、プリコンディショナーの更新またはセットアップ450用の近似的な係数関数490を求める。この実施の形態は、正確な係数関数を求めるのに用いられるシステムのモデルを近似し、このシステムの近似的なモデルを用いて近似的な係数関数を求める。そのようなモデルの近似および/または単純化の例には、NMPCの線形化、元の計画対象期間よりも短い期間の使用、および制約の単純化のうちの、1つまたはそれらの組み合わせが含まれるが、これらに限定されるものではない。

30

【0066】

いくつかの実施の形態は、係数関数  $a(\quad)$ 、したがって、係数行列 A が、時間ステップごとに变化する可能性があるが、NMPCにおける連続最適制御問題は、互いに類似している可能性があるので、この変化は、多くの場合、穏やかなものである、という別の認識に基づいている。

【0067】

図5は、本発明のいくつかの実施の形態による、事前に求められたプリコンディショナーを更新するための方法のブロック図を示している。例えば、行列方程式を解く(530)のに用いられる係数関数は、正確な係数関数550である。しかしながら、制御の次の時間ステップでは、この正確な係数関数は、近似的な係数関数540となり、プリコンディショナーを更新する(540)のに用いることができる。いくつかの実施の形態では、更新520は、解く(530)こととは非同期に、例えば、並列に行われる。例えば、解くことが、プロセッサ510によって実行される場合、更新520は、1つのまたは複数の異なるプロセッサ515によって実行される。

40

【0068】

いくつかの実施の形態では、近似的な係数関数540は、プリコンディショナーの一部のみを更新する(520)。この更新は、制御の異なる時間ステップにおいて、繰り返し実行される。したがって、この実施の形態は、複数の近似的な係数関数を用いて、プリコンディショナーを求める。そのような更新は、プリコンディショナーを求めることを、

50

異なる時点において求められた異なる係数関数を用いることによって時間において分割することと、追加のプロセッサを用いてプリコンディショナーの同じ部分または異なる部分を更新することによって、空間において分割することとを可能にする。

【 0 0 6 9 】

いくつかの実施の形態は、近似的な係数関数および正確な係数関数のうちの一方またはそれらの組み合わせを用いて求められた係数行列に基づいて、プリコンディショナーを求める。例えば、係数行列が、プリコンディショナーをセットアップする時間ステップごとに正確に求められる場合、前処理付き反復方法における反復回数を1に削減することができる。係数行列が、プリコンディショナーのセットアップのためにのみ近似的であるとき、反復回数は、1よりも多くなる可能性があるが、それでも、前処理のない従来の場合と比較して、少なくすることができる。したがって、いくつかの実施の形態は、プリコンディショナーを求める目的で係数関数の正確なものの計算のコストと、前処理付き反復方法における反復回数の削減との間のトレードオフを提供する。

10

【 0 0 7 0 】

例えば、1つの実施の形態は、以前の時間ステップの正確な係数行列Aから求められたプリコンディショナーを、いくつかの後続の時間ステップに再利用する。これらの後続の時間ステップにおいて、正確な係数行列Aは、変化する場合があります、そのため、プリコンディショナーは、現在の正確な係数行列Aの近似値から求められる。この実施の形態は、プリコンディショナーの品質を監視し、その品質が低下したとき、プリコンディショナーTを再計算することができる。例えば、この実施の形態は、前処理付き反復方法の収束速度が閾値未満であるとき、プリコンディショナーTを再計算することができる。

20

【 0 0 7 1 】

代替的に、1つの実施の形態は、現在の時間よりも前のいくつかの時間ステップにおいて、予測された将来の状態について計算された係数行列から求められたプリコンディショナーTを、いくつかの後続の時間ステップに再利用する。この実施の形態は、MPCプロセスが、制御および予測される将来の状態を計画対象期間内に計算する、という認識に基づいている。MPCは、次の時間ステップの制御のみをシステムに出力し、他の全ての計算された量を廃棄するが、それらの量は、プリコンディショナーを求めるのに用いることができる。

【 0 0 7 2 】

他の実施の形態は、例えば、追加のCPUまたはGPU上での $Ax = b$ 用の反復解法の実行と非同期かつ同時に（すなわち、並列に）プリコンディショナーTを求めることもできるし、更新することもできる、という認識に基づいている。

30

【 0 0 7 3 】

いくつかの実施の形態は、反復方法を停止して、プリコンディショナーを更新する。例えば、反復方法は、ある反復ステップにおいて停止することができ、その後、新しく再計算または更新されたプリコンディショナーとともに、解の現在の反復近似値を再開される方法の初期近似値として用いて再開することができる。この場合、再開と再開との間の反復のプロセス中、プリコンディショナーは、固定される。

【 0 0 7 4 】

代替的な実施の形態は、再開することなく、再計算または更新されたプリコンディショナーを反復解法において用い、これによって、可変のプリコンディショナー、すなわち、あらゆる反復において変化することができるプリコンディショナーが得られる。したがって、実施の形態は、柔軟な一般化最小残差（PGMRES）方法、前処理付き最小残差（PMINRES）方法、または前処理付き共役勾配（PCG）方法等の、可変の前処理を可能にする柔軟な反復方法を用いるように変更される。

40

【 0 0 7 5 】

加えてまたは代替的に、1つの実施の形態は、通常、所与の時間ステップにおいて開始する反復方法は、以前の時間ステップ（複数の場合もある）からの、おそらくは、解の初期近似値から離れている情報を用いない、という認識に基づいている。この情報は、収束

50

を加速するのに利用価値がある場合があるので、この実施の形態は、時間ステップ間で反復方法を再開せず、逆に、更新された係数行列  $A$ （更新された係数関数によって与えられる）および更新されたベクトル  $b$  を用いて反復に実行を維持する。この実施の形態は、可変の前処理だけでなく、更新された係数行列  $A$  およびベクトル  $b$  に対しても、柔軟な反復方法を用いる。

【0076】

本発明のいくつかの実施の形態は、プリコンディショナーを、コントローラメモリに記憶されたシステム係数行列  $A$  のエントリから直接求める。係数行列  $A$  のエントリは、最初は明示的に利用可能でないため、いくつかの実施の形態は、近似的な係数行列または正確な係数行列の各エントリを求める。例えば、1つの実施の形態は、近似的な係数関数および正確な係数関数のうちの、一方またはそれらの組み合わせを用いて、近似的な係数行列の各エントリを求め、この近似的な係数行列を用いて、プリコンディショナーを求める。

10

【0077】

図6は、係数関数  $a(\cdot)$  を座標ベクトル  $e_i$ 、すなわち、係数行列  $A$  のサイズの単位行列  $I$  の列または任意のフルランク行列  $Z$  の列  $z_i$  に適用することによって、係数行列を求める（600）、本発明の1つの実施の形態のフローチャートを示している。係数関数  $a(\cdot)$  は、正確な係数関数または近似的な係数関数である。

【0078】

例えば、いくつかの実施の形態は、係数関数  $a(\cdot)$  をベクトル  $z_i$  のそれぞれに並行して（610）適用して（620）、行列  $AZ$  を取得する。これらの実施の形態は、行列  $AZ$  に行列  $Z$  の逆行列を右側から乗算することによって、係数行列  $A$  を正確または近似的に求める（640）。いくつかの変形形態では、行列  $Z$  は、単位行列  $Z = I$  である。それらの変形形態では、乗算  $AZ$  は、必要ではない。

20

【0079】

係数行列  $A$  が適切に定式化された場合、この係数行列は、対称形である。したがって、いくつかの実施の形態は、この係数行列  $A$  の上三角部分または下三角部分のみを求める。それにもかかわらず、実施の形態のうちのいくつかでは、便宜上または速度のために、完全な係数行列  $A$  が計算される。

【0080】

コントローラのいくつかの実施態様では、計算された完全な係数行列  $A$  は、正確には対称形でない場合があり、これは、前処理および反復方法において、数値の誤りをもたらす可能性がある。したがって、1つの実施の形態は、係数行列をその対称平均  $(A + A^T) / 2$  に置き換える（650）ことによって係数行列を正確に対称形にする。ループ610内の計算620は、互いに完全に独立しているので、この実施の形態は、複数のプロセッサ、例えば、GPUまたはFPGAを用いたマルチスレッド（並列）計算を利用することができる。したがって、この実施の形態は、係数行列の要素を並列に求めることができ、これによって、計算効率が高められる。

30

【0081】

図7は、同じプロセッサ上で、単一のベクトル  $a(z)$  ではなく、ベクトルのブロック  $Z$  に係数関数  $a(z_j)$  を適用することによって係数行列を求める（700）本発明の1つの実施の形態のフローチャートを示している。係数関数  $a(\cdot)$  から係数行列  $A$  を生成するためにここで用いられる行列  $Z$  は、その列  $z_j$  のブロックに事前に分割されている（701）必要がある。あらゆるブロックが、単一の列しか含まない場合、図7の実施の形態は、図6の実施の形態と同様である。そうでない場合、ステップ710、720、および730は、ステップ610、620、および630を一般化したものである。

40

【0082】

同じプロセッサ上で係数関数をベクトルのブロックに適用することによって、1つの実施の形態は、高レベル基本線形代数サブプログラム（BLAS）、またはそれらの類似の代替のものを利用することが可能になる。BLASは、ベクトルおよび行列を用いた共通

50

の線形代数演算を実行する低レベルカーネルサブルーチンのセットである。高レベルBLAS、すなわち、BLASレベル2およびBLASレベル3は、特に、データおよび命令のパイプライン化、いくつかの機能ユニットを用いた内部マルチスレッド化、およびマルチレベル内部キャッシュメモリを有するベクトルプロセッサ上でBLASを用いてプログラムの性能を改善するように意図されている。いくつかの実施の形態では、所与のコントローラーコンピューターハードウェアが、一方では複数のプロセッサを用いたマルチスレッド計算の機会と、他方ではベクトルプロセッサが複数のデータおよび命令を取り扱う能力とをバランスさせるように、行列Zのブロックへの分割を最適化することができる。

#### 【0083】

いくつかの実施の形態は、正確な係数関数が反復方法のあらゆるステップにおいて、メイン解決ルーティングの一部として種々のベクトルに適用され、その結果、あらゆる反復においてベクトル $x$ および $A * x$ の新たな対が得られる、という別の認識に基づいている。これらの対は、この反復方法によってそれ以上用いられないが、プリコンディショナーをセットアップする目的で近似的な係数行列 $A$ を再構成することを助けることができる正確な係数行列 $A$ についての情報を提供することができる。したがって、いくつかの実施の形態は、反復方法の反復ベクトルのうちの少なくともいくつかへの正確な係数関数の適用の結果を用いて、プリコンディショナーの少なくとも一部分を更新する。

#### 【0084】

図8は、1つの実施の形態による、ベクトルの所与のブロック $Z_1$ および $A Z_1$ から係数行列 $A$ を更新する一例を示している。最初に、この実施の形態は、任意の方法で行列 $Z_1$ をフルランク行列 $Z$ に完成させ(801)、例えば、図7におけるステップ701と同様の方法で、この補空間を分割する。積 $A Z_1$ は、以前の反復において既に計算されているので、この実施の形態は、値 $j = 2$ から開始してループ810を実行する。この方法の他のステップは、図7における実施の形態のステップと同様である。したがって、この実施の形態は、既に記憶されたベクトルのセットを完全な状態に完成させ、この完成したものに對してのみ、係数関数を評価して、係数行列 $A$ を再構成するのに十分な情報を取得する。

#### 【0085】

係数行列 $A$ のエントリーを入手することができることによって、行列係数関数 $a(\quad)$ の逆関数をシミュレートする前処理関数 $t(\quad)$ を求めることが可能になる。図9および図10は、係数行列の様々な行列因数分解および固有値分解または特異値分解に基づくプリコンディショナー $T$ の作成および更新を具体的に説明する例示の実施の形態の図を示している。

#### 【0086】

図9は、直交変換 $Q$ を用いるとともに、対称反三角形行列 $K$ を選択することによって、行列 $A$ の対称性を利用する反三角形分解 $A = Q K Q^T$ の図を示している。ここで、 $T$ は、転置演算である。近似的な係数行列 $A_{900}$ は、事前に求められ、メモリに記憶されている。プリコンディショナーのセットアップ910は、反三角形因数分解 $A = Q K Q^T$ を求める。ここで、行列 $Q$ は、直交性を有し、行列 $K$ は、対称反三角形である。プリコンディショナー関数の適用 $t(b)_{920}$ は、次のステップを含む。行列 $Q$ の逆行列は、行列方程式の右辺 $b$ に $y = Q^T b$ として適用される(930)。行列方程式 $K z = y$ は、行列 $K$ が反三角形であることを用いて、後退代入によって解かれる(940)。最後に、プリコンディショナーは、 $t(b) = Q z$ として求められる(950)。

#### 【0087】

この反三角形分解に基づく前処理の結果、行列 $A$ が正定値でない場合には、正定値でない対称プリコンディショナー $T = A^{-1}$ が得られる。これは、適切な反復解法、例えば、前処理付きGMRESを選択する際に考慮に入れられる。

#### 【0088】

図10は、図9の実施の形態に加えてまたはこれに代えて用いることができる別の実施の形態のブロック図を示している。この実施の形態では、プリコンディショナーのセット

10

20

30

40

50

アップ1010は、行列 $A = V V^T$ の固有値分解を求める。ここで、 $V$ は、列固有ベクトルの直交行列であり、 $\Lambda$ は、固有値から作成された対角行列であり、演算 $T$ は、行列転置を表す。固有値分解は、ステップ1030、1040、および1050に示すように、 $T = V | \Lambda^{-1} V^T$ によって与えられる対称正定値絶対値プリコンディショナー( $AVP$ )を作成するのに用いられる(1020)。直接的な解法1040では、この実施の形態は、対角行列 $\Lambda$ の対角エントリーの絶対値を反転する。

【0089】

対称性定値 $AVP$  $T$ の利点は、前処理付きMINRES反復方法の使用が、行列方程式 $Ax = b$ を解くことを可能にする、ということである。MINRESは、前処理付きGMRESと比較して、より確実かつより高速に収束することでき、したがって、高速に変化するシステムを制御することが可能な高クロックレートを有する信頼できるコントローラーをもたらす。

10

【0090】

図11は、行列 $A$ の固有値分解または特異値分解を用いることによって前処理関数 $t(\cdot)$ を変更する(1120)別の実施の形態を示している。この実施の形態は、プリコンディショナーがいくつかの時間ステップについて更新されていない場合、その品質が低下し、その結果、 $Ax = b$ を解くための前処理付き反復方法の収束が遅くなる、という認識に基づいている。数学的には、そのような低速化は、行列 $A$ の条件数の増加に関係しており、プリコンディショナーを変更して、遅い収束の原因である行列 $A$ のいくつかの(閾値を用いる)特異ベクトルまたは固有ベクトル $Y$ 1100をデフレートまたは強化することによって、取り除くことができる。

20

【0091】

例えば、プリコンディショナー $T$ を $AVP$ 等の対称正定値とし、 $Y$ を、 $t(A)$ の絶対値固有値によるいくつかの最小値およびいくつかの最大値に対応する固有ベクトルである列を有する行列1100を表すものとする。これらの固有ベクトルは、例えば、以前の時間ステップにおいて計算することができる。1つの実施の形態は、 $Y$ に含まれる固有ベクトルを検討から除外し、したがって、前処理付き反復解法の収束を加速するデフレーションを用いて、前処理関数 $t(\cdot)$ を新たな前処理関数 $t_Y(\cdot)$ に変更する(1120)。例えば、この実施の形態は、 $t_Y(\cdot)$ を $t_Y(\cdot) = P_Y t(\cdot)$ として数学的に定義する(1130)ことができる。ここで、 $P_Y$ は、 $T^{-1}$ 直交補空間における行列 $Y$ の範囲へのプロジェクター1110である。

30

【0092】

加えてまたは代替的に、いくつかの実施の形態は、行列方程式 $Ax = b$ の反復解法の遅い収束が、小次元部分空間に由来する場合がある、という認識に基づいている。プリコンディショナー関数において、この部分空間を検出し、これをデフレートすることによって、反復解法の収束を加速させることができる。この部分空間は、誤差伝播演算子の固有ベクトルに関係し、以前の時間ステップにおいてまたは反復の過程において、計算することができる。正確な係数関数は、あらゆる時間ステップにおいて変化するので、1つの実施の形態は、CMP行列方程式 $Ax = b$ を解くための反復解法の実行中およびこの実行と同時に、すなわち、並列に、デフレートした部分空間の少なくとも一部分を更新する。

40

【0093】

本発明の上記の実施の形態は、数多くの方法のいずれかにおいて実現することができる。例えば、それらの実施の形態は、ハードウェア、ソフトウェアまたはその組合せを用いて実現することができる。ソフトウェアにおいて実現されるとき、そのソフトウェアコードは、単一のコンピューター内に設けられるにしても、複数のコンピューター間に分散されるにしても、任意の適切なプロセッサ、またはプロセッサの集合体において実行することができる。そのようなプロセッサは、集積回路として実現することができ、集積回路構成要素内に、1つまたは複数のプロセッサが含まれる。しかしながら、プロセッサは、任意の適切な構成の回路を用いて実現することができる。

【0094】

50

また、本明細書において概説される種々の方法またはプロセスは、種々のオペレーティングシステムまたはプラットフォームのいずれか1つを利用する1つまたは複数のプロセッサ上で実行可能であるソフトウェアとして、コード化することができる。さらに、そのようなソフトウェアは、いくつかの適切なプログラミング言語および/またはプログラミングツール若しくはスクリプト記述ツールのいずれかを用いて書くことができ、フレームワークまたは仮想機械上で実行される実行可能機械語コードまたは中間コードとしてコンパイルすることもできる。通常、プログラムモジュールの機能は、種々の実施の形態において、望ましいように組合せることもできるし、分散させることもできる。

【0095】

また、本発明の実施の形態は、方法として具現することができ、その一例が提供されてきた。その方法の一部として実行される動作は、任意の適切な方法において順序化することができる。したがって、例示的な実施の形態において、順次の動作として示される場合であっても、例示されるのとは異なる順序において動作が実行される実施の形態を構成することもでき、異なる順序は、いくつかの動作を同時に実行することを含むことができる。

10

【0096】

本発明は、好ましい実施の形態の例として説明されてきたが、本発明の趣旨および範囲内で様々な他の適応および変更を行うことができることを理解されたい。したがって、添付の特許請求の範囲の目的は、本発明の真の趣旨および範囲に入る全ての变形および変更を包含することである。

20

【0097】

付録A

ここでは、CNMPCの数学的定式化の特定の例として、非特許文献1における問題を僅かに拡張したものを検討する。

【0098】

【数1】

本発明における数式                      対                      非特許文献1における数式

$  \begin{aligned}  & \min_{u,p} J, \\  J = & \phi(t+T, x(t+T), p) \\  & + \int_t^{t+T} L(t', x(t'), u(t'), p) dt' \\  & \text{s.t.} \\  \dot{x} = & f(t, x(t), u(t), p) \\  C(t, x(t), u(t), p) = & 0 \\  \psi(t+T, x(t+T), p) = & 0  \end{aligned}  $	$  \begin{aligned}  & \min_{u,p} J, \\  J = & \phi(t+T, x(t+T)) \\  & + \int_t^{t+T} L(t', x(t'), u(t')) dt' \\  & \text{s.t.} \\  \dot{x} = & f(t, x(t), u(t)) \\  C(t, x(t), u(t)) = & 0  \end{aligned}  $
---	--

30

【0099】

ここで、 $x = x(t)$  は、計画対象期間にわたる最適制御問題のための初期状態としての役割を果たすシステムの状態のベクトルを表す。ベクトル  $u = u(t)$  は、計画対象期間にわたる最適制御問題のための入力制御としての役割を果たす制御入力ベクトルである。スカラー関数  $J$  は、最小にしたいシステム性能コストであり、終端コスト（総和における第1項）および後退計画対象期間にわたるコスト（総和における第2項）を含む。状態ベクトルの一次時間導関数（「ドット付き」の  $x$  によって表される）の方程式は、 $x$  および/または  $u$  が非線形の場合がある、システム動的モデルである。制約ベクトル関数  $C$  を有する方程式は、状態  $x$  および制御  $u$  の等式制約を記述している。終端制約関数によって記述される1つの余分の制約、およびパラメータ  $p$  を追加する。計画対象期間の長さの値  $T$  は、原則として、 $t$  に依存する場合もあるが、表記を単純にするために、ここではそのような可能性は考えないことにする。

40

【0100】

50

上記最適制御問題の連続式は、以下のように、コンピューター解法に適するように離散化される。計画対象期間をサイズ  $\Delta t$  の  $N$  個の計画対象期間時間ステップに分割することによって、均一な計画対象期間時間グリッドを導入し、時間連続ベクトル関数  $x(t)$  および  $u(t)$  をグリッド点におけるそれらのインデックス付き値  $x_i$  および  $u_i$  に置き換える。このように、 $N$  は、計画対象期間にわたる最適制御問題のための複数の人工時間ステップである。後退計画対象期間にわたるコストの積分を単純な求積ルールによって近似する。状態ベクトルの一次時間導関数を有限差分式によって近似する。したがって、離散化された最適制御問題のこれらの定義をつなぎ合わせると、以下ようになる。

【 0 1 0 1 】

【 数 2 】

本発明における数式                      対                      非特許文献 1 における数式

10

$$\begin{aligned}
 \min_{u, p} J, \\
 J = \phi(t_N, x_N, p) + \sum_{i=0}^{N-1} L(t_i, x_i, u_i, p) \Delta t. \text{ s.t.} \\
 x_{i+1} = x_i + f(t_i, x_i, u_i, p) \Delta t \\
 \quad (i = 0 \rightarrow N-1) \\
 C(t_i, x_i, u_i, p) = 0 \\
 \quad (i = 0 \rightarrow N-1) \\
 \psi(t_N, x_N, p) = 0
 \end{aligned}$$

$$\begin{aligned}
 \min_{u, p} J, \\
 J = \phi(t_N, x_N) + \sum_{i=0}^{N-1} L(t_i, x_i, u_i) \Delta t. \text{ s.t.} \\
 x_{i+1} = x_i + f(t_i, x_i, u_i) \Delta t \\
 \quad (i = 0 \rightarrow N-1) \\
 C(t_i, x_i, u_i) = 0 \\
 \quad (i = 0 \rightarrow N-1)
 \end{aligned}$$

20

【 0 1 0 2 】

これまでのところ、計画対象期間における N M P C 最適制御問題のみが離散化されていることに留意されたい。後に、提示を単純にするために、時間ステップサイズ  $\Delta t$  を有する同じ均一なグリッドを用いてシステム時間  $t$  を離散化する。より一般的には、計画対象期間における離散化された N M P C 最適制御問題は、システムの時間離散化とは異なる場合がある。

【 0 1 0 3 】

共状態（非特許文献 1 では、ラグランジュ乗数とも呼ばれる）ベクトルを、ここでは、計画対象期間にわたる最適制御問題の初期共状態としての役割を果たす  $\lambda$  によって表し、等式制約に関連付けられたラグランジュ乗数ベクトルを  $\mu$  によって表し、制御理論において定義されているようないわゆるハミルトン関数を導入する。

30

【 0 1 0 4 】

【 数 3 】

$$H(t, x, \lambda, u, \mu, p) = L(t, x, u, p) + \lambda^T f(t, x, u, p) + \mu^T C(t, x, u, p)$$

【 0 1 0 5 】

関数  $H$  によって与えられる終端制約を緩和するために、ラグランジュ乗数  $\lambda$  を導入する。制御入力  $u$ 、ラグランジュ乗数  $\mu$ 、ラグランジュ乗数  $\lambda$ 、およびパラメーター  $p$  を全て 1 つのベクトルに組み合わせるベクトル関数  $U(t)$  も導入する必要がある。

40

【 0 1 0 6 】

離散化された N M P C 最適制御問題は、ここでは、 $F(t, x, U) = 0$  によって表される「オイラーラグランジュの方程式」、および代替的に「K K T 条件」と呼ばれることが多い従来の一次必要最適性基準を用いることによって解かれる。K K T 条件は、例えば、求められていない乗数のラグランジュ方法を適用することによって導出することができる。数学的には、 $F(t, x, U) = 0$  であり、解  $U = U(t)$  が一意である場合、この解は、最適点であり、したがって、所与の状態  $x = x(t)$  についての最適制御問題の解となる。制御ベクトル入力  $u$  は、それよりも大きなベクトル  $U$  の一部分であるので、最適解  $U$  は、最適制御入力  $u$  を与える。

【 0 1 0 7 】

50

KKT条件を形式的に導出するために、以下の拡張評価関数を導入することができる。

【0108】

【数4】

$$J_{\text{ex}}(X, \Lambda) = \phi(t_N, x_N, p) + \sum_{i=0}^{N-1} L(t_i, x_i, u_i, p) \Delta t$$

$$+ \sum_{i=0}^{N-1} \lambda_{i+1}^T (x_i - x_{i+1} + f(t_i, x_i, u_i, p) \Delta t)$$

$$+ \sum_{i=0}^{N-1} (\mu_i \Delta t)^T C(t_i, x_i, u_i, p) + v^T \psi(t_N, x_N, p)$$

10

【0109】

ここで、 $X = [x_i \ u_i \ p]^T$  であり、 $\Lambda = [\lambda_i \ \mu_i]^T$  である。 $C(t_i, x_i, u_i, p) = 0$  のラグランジュ乗数は、幾分一貫していない方法で選ばれることに留意されたい。一方では、 $t$  を含めるために、 $\mu_i$   $t$  のセットをラグランジュ乗数として取るが、他方では、この場合、 $\mu_i$   $t$  ではなく、 $\mu_i$  のみをラグランジュ乗数として考える。

20

【0110】

【数5】

$$\frac{\partial J_{\text{ex}}^T}{\partial X}(X, \Lambda) = 0$$

および

【数6】

$$\frac{\partial J_{\text{ex}}^T}{\partial \Lambda}(X, \Lambda) = 0$$

を計算することによってKKT条件を導出する。例えば、

【数7】

$$\frac{\partial J_{\text{ex}}^T}{\partial u_i}(X, \Lambda) = 0$$

である、 $u_i$  に関する導関数を取ると、以下の方程式が取得される。

【0111】

【数8】

$$\frac{\partial J_{\text{ex}}^T}{\partial u_i}(X, \Lambda) = \frac{\partial L}{\partial u_i}(t_i, x_i, u_i, p) \Delta t + \lambda_{i+1}^T \frac{\partial f}{\partial u_i}(t_i, x_i, u_i, p) \Delta t$$

$$+ \mu_i^T C(t_i, x_i, u_i, p) \Delta t = 0$$

30

【0112】

ハミルトン表記を用いると、以下の式となる。

【0113】

【数9】

$$\frac{\partial H}{\partial u_i}(t_i, x_i, u_i, p) \Delta t = 0$$

【0114】

【数10】

$$\frac{\partial J_{\text{ex}}^T}{\partial \mu_i}(X, \Lambda) = 0$$

50

である、 $\mu_i$ に関する導関数を取ると、以下の方程式が取得され、この方程式は、結局のところ乗数  $\lambda$  も有する。

【 0 1 1 5 】

【数 1 1】

$$C(t_i, x_i, u_i, p)\Delta t = 0$$

【 0 1 1 6 】

したがって、理論上、正確にするために、KKT条件における

【数 1 2】

$$\frac{\partial H}{\partial u_i}$$

$$\frac{\partial H}{\partial u_i}$$

およびCは、結局のところ  $\lambda$  を有するべきであり、これによって、行列  $F_{ij}$  は対称形になる。

【 0 1 1 7 】

$U$ は、共状態ベクトル  $\lambda$  を含まず、したがって、 $\lambda$  は、方程式  $F(t, x, U) = 0$  における未知数のうちの1つでない、すなわち、独立して削除される必要があることに留意されたい。次に、共状態ベクトル  $\lambda$  の削除手順から開始して、シンボリック行列関数  $F$  の作成について説明する。 $F(t, x, U)$ の独立変数のベクトル  $x$  は、状態ベクトルを表す。現在の測定された状態  $x$  は、以下のアルゴリズムの初期ベクトル  $x_0$  としての役割を果たす。

【 0 1 1 8 】

1. 最初に、以下のように全ての  $x_i$  および  $\lambda_i$  を計算する。

【 0 1 1 9 】

【数 1 3】

$x_0$  は、現在の測定された状態として与えられる

↓

$$x_{i+1} = x_i + f(t_i, x_i, u_i, p)\Delta t \quad (\text{Note: } i = 0 \rightarrow N-1)$$

↓

$$\lambda_N = \frac{\partial \phi^T}{\partial x}(t_N, x_N, p) + \frac{\partial \psi^T}{\partial x}(t_N, x_N, p) \cdot v$$

↓

$$\lambda_i = \lambda_{i+1} + \frac{\partial H^T}{\partial x}(t_i, x_i, \lambda_{i+1}, u_i, p)\Delta t \quad (\text{Note: } i = N-1 \rightarrow 1)$$

【 0 1 2 0 】

2. 次に、上記で計算された  $x_i$  および  $\lambda_i$  を用いて、以下のように  $F(t, x, U)$  を計算する。

【 0 1 2 1 】

10

20

30

40

【数 1 4】

$$F(t, x, U) = \begin{bmatrix} \vdots \\ \left. \frac{\partial H^T}{\partial u}(t_i, x_i, \lambda_{i+1}, u_i, \mu_i, p) \Delta t \right\} \in \mathbb{R}^{(n_u \cdot N) \times 1} \\ \vdots \\ \text{(Note: } i = 0 \rightarrow N - 1) \\ \left. C(t_i, x_i, u_i, p) \Delta t \right\} \in \mathbb{R}^{(n_c \cdot N) \times 1} \\ \vdots \\ \text{(Note: } i = 0 \rightarrow N - 1) \\ \psi(t_N, x_N, p) \in \mathbb{R}^{n_\psi \times 1} \\ \left. \frac{\partial \phi_N^T}{\partial p}(t_N, x_N, p) + \frac{\partial \psi_N^T}{\partial p}(t_N, x_N, p) \cdot v + \sum_{i=0}^{N-1} \frac{\partial H_i^T}{\partial p}(t_i, x_i, \lambda_{i+1}, u_i, \mu_i, p) \Delta t \right\} \in \mathbb{R}^{n_p \times 1} \end{bmatrix} \quad 10$$

【 0 1 2 2】

上記式において、次元は、次のとおりである。

【 0 1 2 3】

【数 1 5】

$$x_i \text{ and } f(t_i, x_i, u_i, p) \in \mathbb{R}^{n_x \times 1} \quad 20$$

$$u_i \in \mathbb{R}^{n_u \times 1}$$

$$C(t_i, x_i, u_i, p) \text{ and } \mu_i \in \mathbb{R}^{n_c \times 1}$$

$$\psi(t_N, x_N, p) \text{ and } v \in \mathbb{R}^{n_\psi \times 1}$$

$$p \in \mathbb{R}^{n_p \times 1}$$

$$F(t, x, U) \in \mathbb{R}^{n_U \times 1}$$

$$n_U = (n_u + n_c)N + n_\psi + n_p \quad 30$$

【 0 1 2 4】

ここで、 $n_x$  はベクトル  $x$  のサイズであり、 $n_u$  はベクトル  $u$  のサイズであり、 $n_p$  はベクトル  $p$  のサイズであり、 $n_c$  は条件  $C$  の数であり、 $n_\psi$  は終端条件  $\psi$  の数である。ベクトル

【数 1 6】

$$U \in \mathbb{R}^{n_U \times 1}$$

は、

【数 1 7】

$$U = [\dots u_i^T \dots, \dots \mu_i^T \dots, v^T, p^T]^T.$$

である。スカラー関数  $H$  は、

【数 1 8】

$$H = L(t_i, x_i, u_i, p) + \lambda_i^T f(t_i, x_i, u_i, p) + \mu_i^T C(t_i, x_i, u_i, p)$$

である。ここにおける全ての関数および変数は、一般に時間依存性を有する場合がある。

【 0 1 2 5】

この方程式は、コントローラボード上でコンピュータプロセッサが MPC の各時間ステップにおいてリアルタイムで数値的に解く必要がある。これは、NMPC の実施の最も難しく、能力を必要とする部分である。ハミルトン関数  $H$  および制約関数  $C$  は、それらの変数に非線形に従属する場合があるので、方程式  $F(t, x, U) = 0$  は、NMPC に対応して、一般に非線形である。

【 0 1 2 6 】

各時間ステップにおける図 1 の非線形方程式系 1 1 3  $F(t, x, U) = 0$  は、ホモトピー連続の技法を用いて、近似的なニュートンの方法によって解かれる。この方法では、解  $U(t)$  は、連続パラメータを用いて微分方程式を積分することによってトレースされる。ここで、非特許文献 1 に従った表記を乱用して、時間  $t$  を、初期値 0 を有する連続パラメータとみなすことにする。また、この付録の残りの部分では、変数の順序を  $F(t, x, U)$  から  $F(U, x, t)$  に入れ換えることにする。

【 0 1 2 7 】

$F(U(0), x(0), 0) = 0$  となるような  $U(0)$  を選び、 $F(U(t), x(t), t) = 0$  が全く同様に満たされるように、時間に関する  $U$  の導関数を求める。したがって、あるスカラー  $\zeta$  に関して、以下の式が得られる。

10

【 0 1 2 8 】

【数 1 9】

$$\dot{F}(U(t), x(t), t) = -\zeta F(U(t), x(t), t) \tag{1}$$

【 0 1 2 9 】

スカラー  $\zeta$  を正の  $\zeta > 0$  に選ぶと、方程式 (1) の零解  $F(U(t), x(t), t) = 0$  は、安定する。これによって、非零の  $F(U(0), x(0), 0)$  を用いることが可能になり、連続パラメータに関して、方程式 (1) を、その離散化を用いて近似することが可能になり、さらに、解  $F(U(t), x(t), t)$  がほぼ零になることを予想

20

【 0 1 3 0 】

方程式 (1) は、CNMPC の主要な微分方程式である。数值的に解くために、方程式 (1) は、以下の式によって近似される。

【 0 1 3 1 】

【数 2 0】

$$D_h F(U, x, t; V, y, 1) = (F(U+hV, x+hy, t+h) - F(U, x, t))/h = -\zeta F(U(t), x(t), t), \tag{2}$$

【 0 1 3 2 】

ここで、

30

【数 2 1】

$$V = \dot{U}$$

および

【数 2 2】

$$y = \dot{x}$$

は、それらに対応して、「ドット付き」の  $U$  および  $x$  ( $U$  および  $x$  の時間  $t$  に関する導関数) を表し、(1) における左辺

【数 2 3】

$$\dot{F}(U(t), x(t), t)$$

40

は、(2) においては、前進差分方向導関数の以下の定義を用いて  $D_h F(U, x, t; V, y, 1)$  によって近似される。

【 0 1 3 3 】

【数 2 4】

$$F_U(U(t), x(t), t)W + F_x(U(t), x(t), t)w + F_t(U(t), x(t), t)s \approx D_h F(U, x, t; W, w, s) = (F(U+hW, x+hw, t+hs) - F(U, x, t))/h$$

【 0 1 3 4 】

連鎖法から以下のようなになる。

【 0 1 3 5 】

50

【数 2 5】

$$\begin{aligned}\dot{F}(U, x, t) &= \frac{\partial F}{\partial U} \dot{U} + \frac{\partial F}{\partial x} \dot{x} + \frac{\partial F}{\partial t} \\ &= F_U \dot{U} + F_x \dot{x} + F_t\end{aligned}$$

【0 1 3 6】

$D_h F(U, x, t; V, y, 1)$  の定義を方程式 (2) に挿入すると、その結果、以下のように、時間に関する  $U$  の導関数である、 $V$  についての方程式系が得られる。

【0 1 3 7】

10

【数 2 6】

$$\begin{aligned}F(U+hV, x+hy, t+h) - F(U, x+hy, t+h) = & \quad (3) \\ & - \zeta h F(U(t), x(t), t) - F(U, x+hy, t+h) + F(U(t), x(t), t)\end{aligned}$$

【0 1 3 8】

サンプリング周期  $t = h$  を導入し、(3) において  $x(t + t) = x + hy$  と表すと、(3) から以下の式が得られる。

【0 1 3 9】

【数 2 7】

$$\begin{aligned}F(U(t)+\Delta t V, x(t+\Delta t), t+\Delta t) - F(U(t), x(t+\Delta t), t+\Delta t) = & \quad (4) \\ & - \zeta \Delta t F(U(t), x(t), t) - F(U(t), x(t+\Delta t), t+\Delta t) + F(U(t), x(t), t)\end{aligned}$$

20

【0 1 4 0】

ここで、

【数 2 8】

$$y = \dot{x}(t) = f(t, x, u)$$

である。

【0 1 4 1】

状態  $x(t)$  は、測定から取得することができ、

30

【数 2 9】

$$\dot{x}(t) = f(t, x, u)$$

は、既に取得された状態  $x(t)$  を用いるとともに、以前の時間ステップにおいて解明された制御  $u(t)$  を用いて計算することができる。同じ表記  $t$  を用いるが、(4) では、値  $t = h$  を、時間ステップサイズおよび計画対象期間時間ステップサイズと比較して異なって選ぶことができることに留意されたい。

【0 1 4 2】

方程式 (4) の左辺の表式は、以下の係数関数である。

【0 1 4 3】

40

【数 3 0】

$$a(V) = F(U(t)+\Delta t V, x(t+\Delta t), t+\Delta t) - F(U(t), x(t+\Delta t), t+\Delta t) \approx \Delta t F_U * V \quad (5)$$

【0 1 4 4】

これは、解く必要がある行列方程式  $Ax = b$  における係数行列  $A = F_U$  を暗黙的かつ近似的に求めている。方程式 (4) の右辺の表式は、行列方程式  $Ax = b$  における右辺のベクトル、すなわち、以下の式である。

【0 1 4 5】

【数 3 1】

$$b = -\zeta \Delta t F(U(t), x(t), t) - F(U(t), x(t + \Delta t), t + \Delta t) + F(U(t), x(t), t)$$

【0 1 4 6】

解ベクトル  $x$  は、制御の現在の時間ステップにおける正確な (5) の係数関数  $a(x)$  =  $A * x$  によって定義された係数行列  $A$  を有する C M P C の行列方程式  $A x = b$  を解くことによって求められる。

【0 1 4 7】

いくつかの実施の形態の場合、行列  $A = F_U$  が対称形であるか否かは重要である。非特許文献 1 の  $F$  の形式的定義では、 $K K T$  条件は、上位 2 つのベクトル方程式として、以下

10

【0 1 4 8】

【数 3 2】

$$\frac{\partial H}{\partial u}(t, \vec{x}, \vec{\lambda}, \vec{u}, \vec{\mu}, \vec{p}) = 0, \quad (6)$$

$$C(t, \vec{x}, \vec{u}, \vec{p}) = 0.$$

【0 1 4 9】

これは、技術的には、行列  $A = F_U$  を非常に非対称なものにする可能性がある。  $A = F_U$  を対称形にするために、ヘッセ行列について予想されるように、 $F(t, x, U)$  の定義において、以下のように、 $t$  を乗算する必要がある。

20

【0 1 5 0】

【数 3 3】

$$\frac{\partial H}{\partial u}(t, \vec{x}, \vec{\lambda}, \vec{u}, \vec{\mu}, \vec{p}) \Delta t = 0,$$

$$C(t, \vec{x}, \vec{u}, \vec{p}) \Delta t = 0.$$

【0 1 5 1】

これは、上記  $F$  の本発明者らの定義に見ることができる。  $t$  による乗算は、方程式 (6) に対応する、行列  $A = F_U$  のブロックの未処理のスケーリングと同等である。

30

【0 1 5 2】

数学的に言うと、 $V$  の方程式 (4) は、 $V$  に関して正確には線形でない場合があること、すなわち、(5) における係数関数  $a(V)$  によって暗黙的に求められた係数行列  $A$  は、実際には  $V$  に従属する場合があること、を認識することも重要である。特に、これは、プリコンディショナーのセットアップの目的で  $a(\quad)$  から  $A$  を明示的に計算する本発明者らのアルゴリズムが、結果的に非対称行列をもたらす場合がある理由を説明している。そのような従属および対称性からのずれは、自由に選ぶことができるサンプリング周期  $t = h$  を用いると小さくなる。  $t = h$  の選択の際の重要な制限は、キャンセル誤差が、コントローラプロセッサの不正確な算術計算に起因して係数関数  $a(\quad)$  の有限差分評価において上昇し始めるということに由来している。これは、導関数の有限差分近似を用いることの回避不能な副作用である。  $t = h$  の値の推奨された下限は、例えば、倍精度 ( $10^{-16}$ ) 算術計算において、 $10^{-8}$  とすることができるが、最適な値は、 $F$  に依存する。

40

【0 1 5 3】

いくつかの実施の形態について、行列  $A = F_U$  用のプリコンディショナー  $T$  を導入する。プリコンディショナー  $T$  を用いた前処理は、解く必要がある行列方程式  $A x - b = 0$  に直接適用することができ、次のようになる。すなわち、 $T(A x - b) = 0$  となる。代替的に、方程式 (1) は、以下のように前処理することができる。

【0 1 5 4】

【数34】

$$T \dot{F}(U(t), x(t), t) = -\zeta F(U(t), x(t), t) \quad (7)$$

【0155】

この結果、上記と同じ操作を繰り返した後、前処理付き行列方程式は  $TAx - c = 0$  となる。ここで、ベクトルの第1項

【数35】

$$c = -\zeta \Delta t F(U(t), x(t), t) - T F(U(t), x(t + \Delta t), t + \Delta t) + T F(U(t), x(t), t)$$

は、ベクトル  $Tb$  の第1項と僅かに異なる。前処理に関係した本発明者らの全ての実施の形態は、方程式(1)または(7)のいずれにも等しく適用可能である。

10

【0156】

プリコンディショナー  $T$  の少なくとも一部分は、近似的な係数関数を  $a_{\text{approx}}(x) = T^{-1}x$  として用いて(暗黙的に)求めることができる。ここで、ベクトル  $x$  に適用される近似的な係数関数を  $a_{\text{approx}}(\ )$  は、ベクトル  $x$  への正確な係数関数  $a(\ )$  の適用の結果  $a(x)$  を近似する、すなわち、 $a_{\text{approx}}(x) \approx a(x)$  である。例えば、近似的な係数関数  $a_{\text{approx}}(\ )$  は、正確な係数関数  $a(\ )$  と同じ式(5)によって求めることができるが、正確な係数関数を求めるための算術計算の精度よりも、低い精度を有する算術計算を用いて計算することができる。

【0157】

20

加えてまたは代替的に、近似的な係数関数  $a_{\text{approx}}(\ )$  は、 $F(t, x, U)$  の値を計算するのに必要とされる微分方程式用の単純化された解法を用いて求めることができ、この単純化された解法は、正確な係数関数を求めるための解法よりも高速ではあるが、この解法よりも正確でない。例えば、 $F(t, x, U)$  の評価は、状態  $x$  を記述する微分方程式

【数36】

$$\dot{x} = f(t, x(t), u(t), p)$$

用の解法を必要とする。 $F(t, x, U)$  の定義において用いられるこの解法は、以下のように記述される陽的オイラー法である。

【0158】

30

【数37】

$$x_{i+1} = x_i + f(t_i, x_i, u_i, p) \Delta t \quad (\text{Note: } i = 0 \rightarrow N - 1)$$

【0159】

この方法は、値  $x_1, \dots, x_N$  を計算し、関数  $f(t_i, x_i, u_i, p)$  の  $N$  個の評価値を必要とする。近似的な係数関数  $a_{\text{approx}}(\ )$  を求める単純化された解法の一例は、この場合も、陽的オイラー法とすることができるが、2倍の大きさの  $t$  を有する陽的オイラー法である。すなわち、以下の式となる。

【0160】

【数38】

40

$$y_{j+1} = y_j + f(t_j, y_j, u_j, p) 2\Delta t \quad (\text{Note: } j = 0 \rightarrow N/2 - 1)$$

【0161】

ここで、 $N$  は、簡単にするために偶数と仮定され、 $y_0 = x_0$  である。この単純化された解法は、関数  $f(t_i, x_i, u_i, p)$  の  $N/2$  個の評価値しか必要としない。すなわち、元の陽的オイラー法と比較して2倍も高速にすることができる。この解法は、必要とされる値の半分しか与えず、そのため、例えば、以下のものがさらに定義される。

【0162】

【数 3 9】

$$z_{2j} = y_j, \quad z_{2j-1} = (y_j + y_{j-1})/2, \quad (\text{Note: } j = 1 \rightarrow N/2 - 1)$$

【0163】

したがって、この単純化された解法は、値  $z_1, \dots, z_N$  を計算する。これらの値は、値  $x_1, \dots, x_N$  しか近似することができないが、値  $z_1, \dots, z_N$  の計算は、コントローラー上で、値  $x_1, \dots, x_N$  の計算と比較して2倍も高速にすることができる。

【0164】

別の例は、システムの近似的なモデルならびに制約関数  $C$  および終端制約関数  $\phi$  に基づいて、関数  $F(t, x, U)$  の近似を用いて求められた近似的な係数関数  $a_{\text{approx}}(\cdot)$  である。ここで、関数  $f$  によって与えられるこのシステムの動的モデルは、近似することができる。このシステムの近似的なモデルは、正確な係数関数を求めるのに用いられる正確なモデルと比較して、コントローラー上での評価がより高速になるように求められるが、正確なモデルよりも正確ではない。例えば、関数  $f$ 、 $C$ 、および  $\phi$  のうちの1つまたはそれらの組み合わせは、短いテイラー展開によって求められたその近似と置き換えることができる。例えば、 $f(x, \dot{x}, u, p) = \exp(t)$  とすると、 $f = \exp(p)$  は、小さな  $t$  について  $f_{\text{approx}} = 1 + t + t^2/2$  によって近似することができる。

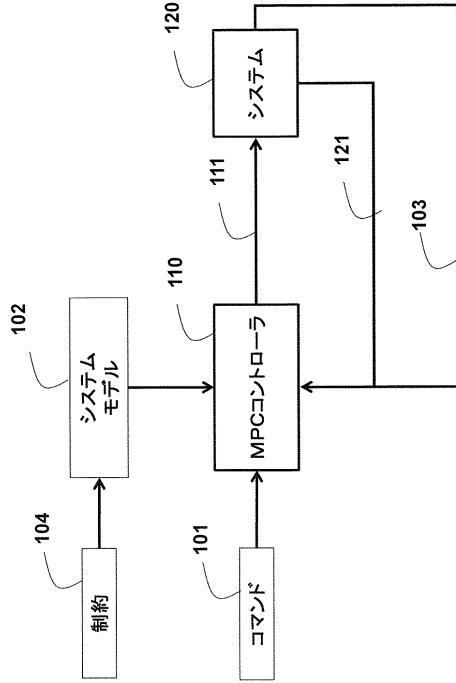
10

【0165】

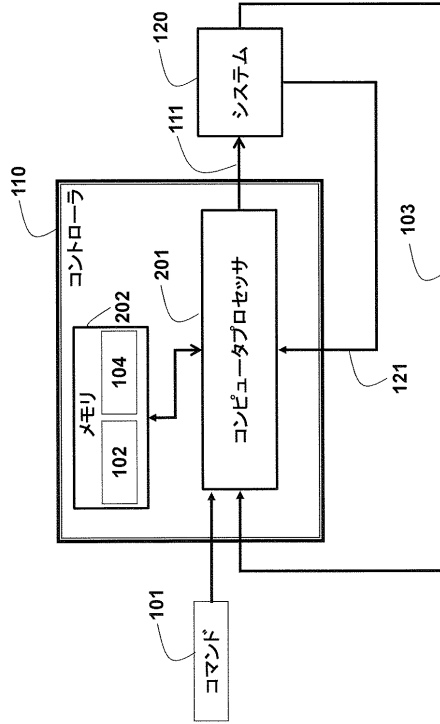
加えてまたは代替的に、近似的な係数関数  $a_{\text{approx}}(\cdot)$  は、制御の異なる時間ステップについて求められた正確な係数関数  $a(\cdot)$  または制御のいくつかの異なる時間ステップについて求められた正確な係数関数  $a(\cdot)$  の組み合わせとすることができる。過去の時間ステップの場合、正確な係数関数  $a(\cdot)$  は、既に計算されており、コントローラーメモリにおいて利用可能な場合がある。制御の将来の時間ステップの場合、制御の現在の時間ステップの間、近似的な係数関数  $a_{\text{approx}}(\cdot)$  を求めるのに必要とされる将来の時間ステップのためのデータ、例えば、状態  $x$  は、システムのモデルに基づいて予測することができる。制御のいくつかの異なる時間ステップについて求められた正確な係数関数  $a(\cdot)$  の組み合わせは、例えば、それらの平均とすることができる。

20

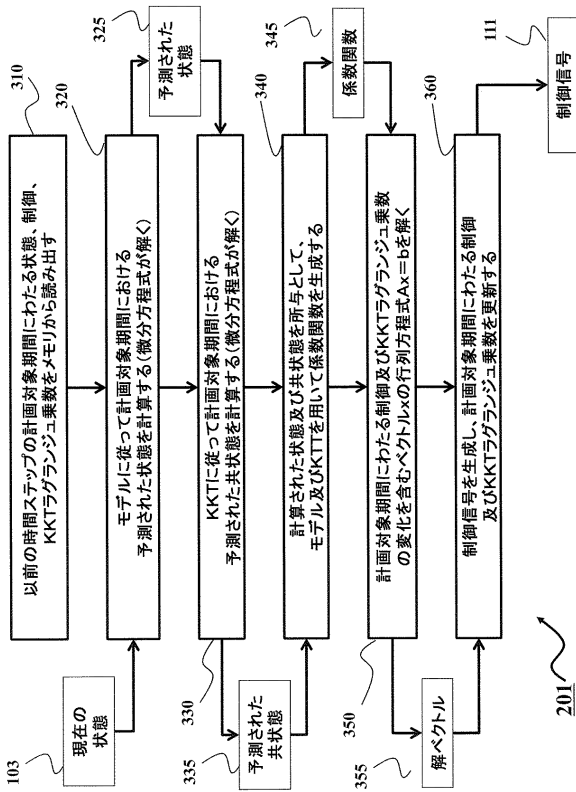
【図 1】



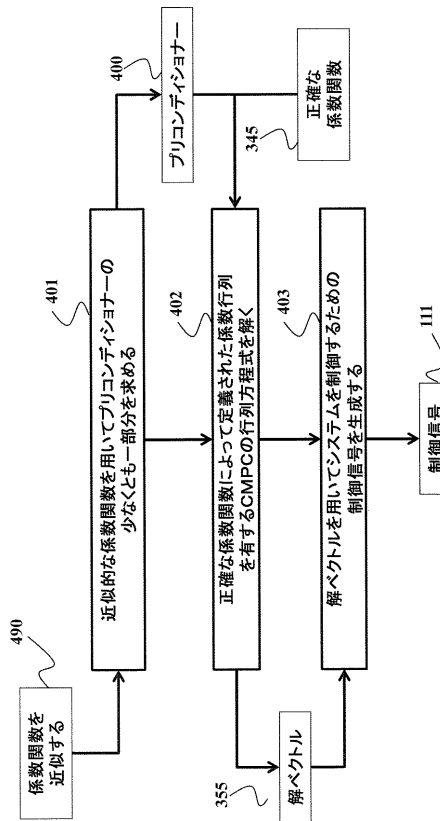
【図 2】



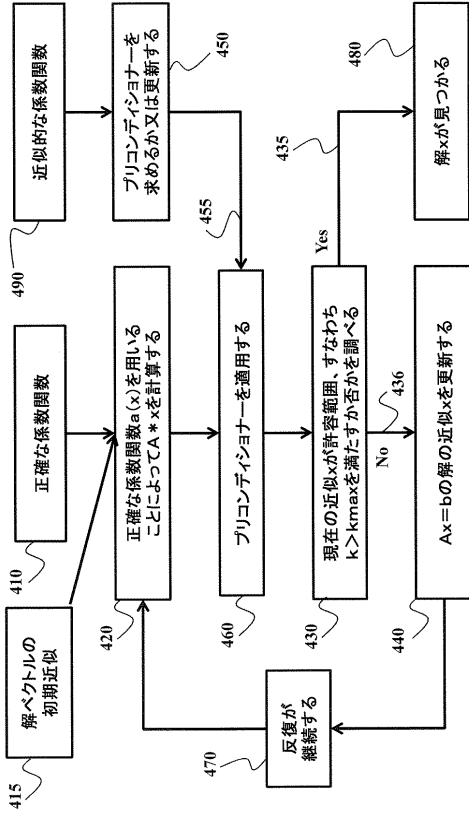
【図 3】



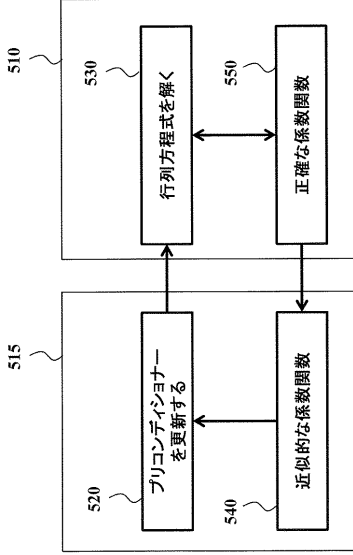
【図 4 A】



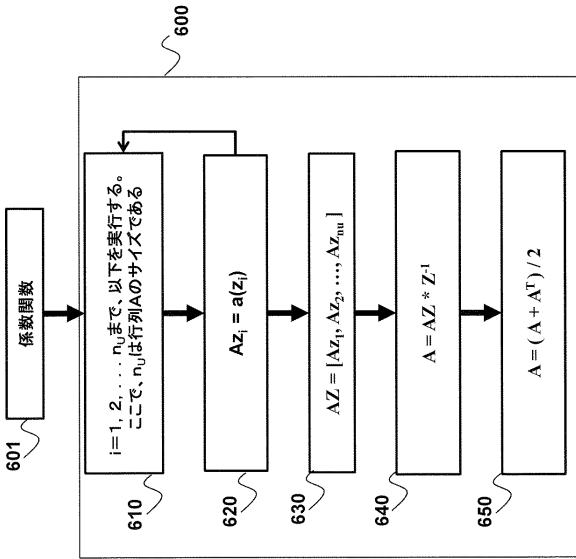
【 図 4 B 】



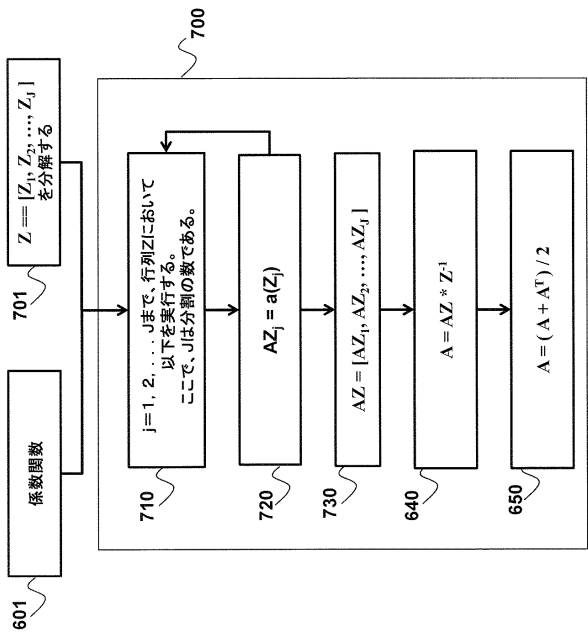
【 図 5 】



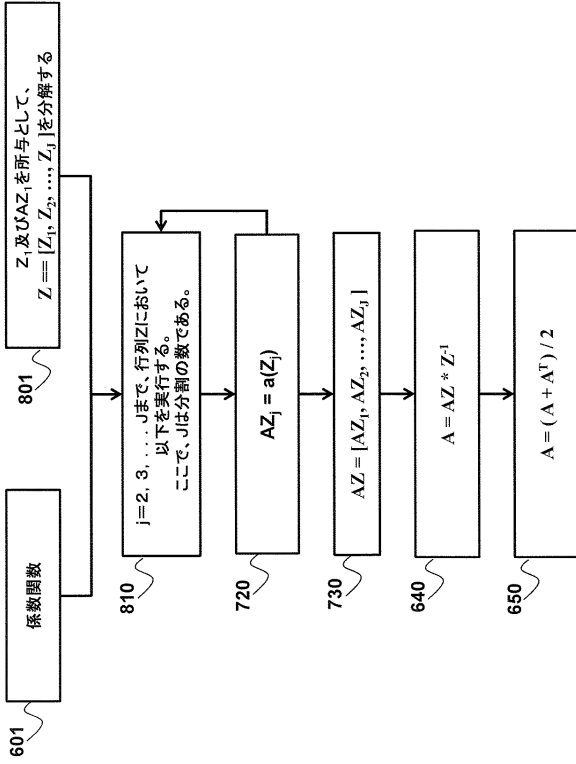
【 図 6 】



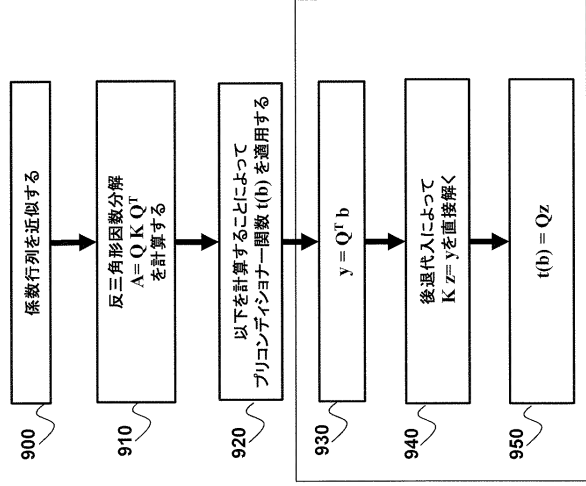
【 図 7 】



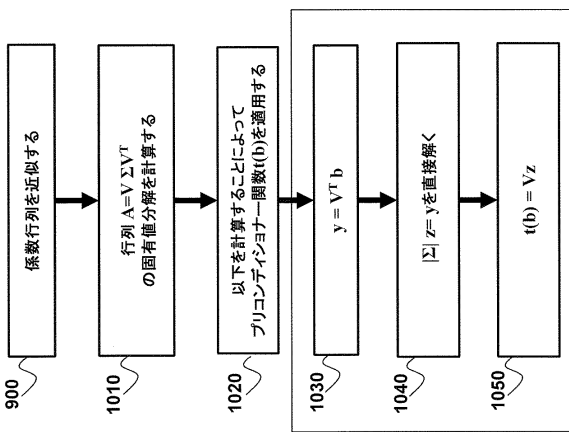
【 図 8 】



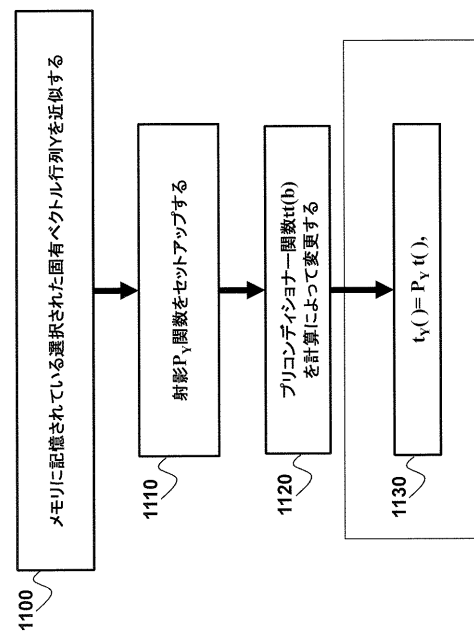
【 図 9 】



【 図 10 】



【 図 11 】



---

フロントページの続き

(72)発明者 アンドレイ・ニアゼフ  
アメリカ合衆国、マサチューセッツ州、ケンブリッジ、ブロードウェイ 201、ケアオブ・ミツ  
ビシ・エレクトリック・リサーチ・ラボラトリーズ・インコーポレイテッド

(72)発明者 藤井 悠太  
東京都千代田区丸の内二丁目7番3号 三菱電機株式会社内

審査官 黒田 暁子

(56)参考文献 特開2012-194960(JP, A)  
Takuma TANIDA, Toshiyuki OHTSUKA, Preconditioned C/GMRES Algorithm for Nonlinear Receding  
Horizon Control of Hovercrafts Connected by a String, Proceedings of the 2004 IEEE  
International Conference on Control Applications

(58)調査した分野(Int.Cl., DB名)  
G05B 13/04